

Ultrair 共识黄皮书

March 24, 2019

Contents

1	前言	2
2	贡献	3
3	名词解释	3
3.1	签名验证	3
3.2	摘要函数	3
3.3	可验证随机函数	4
3.4	后量子算法	4
3.5	BLS 算法	5
3.6	区块	5
3.7	节点身份	5
3.8	消息类型	5
4	架构	6
4.1	随机数层	6
4.2	身份层	7
4.3	共识层	7
4.4	新节点加入	11
5	安全性证明	12
5.1	定理	12
5.2	安全假设	12
5.3	推论	12

Abstract

Ultrain 共识层的目的是为了在不损失安全度和去中心化特性的情况下，通过随机数和密码学应用方面的创新，提高区块链底层的性能。

1 前言

对于区块链应用场景，需要共识算法具有如下特性

- Throughput : transaction per second 意味着区块链系统每秒能处理的交易笔数，为了能够满足全球用户，交易处理速度必须足够大，否则会造成交易积压，回复时间长。比如 bitcoin 的交易拥堵和以太坊因为 cryptokitties 造成的网络拥堵。
- Latency : 交易从提交到回复成功与否的时间。在 PoW 网络中，因为有分叉可能，一般要等待几个块后确定。在 BFT 共识系统中，因为正确节点都在共识结束后就确定性有相同结果，所以在交易不拥堵的情况下，响应速度与共识时间相同。
- Scalability : 一般默认区块链系统参与的节点数越多，系统安全度越高。对于基于 PoW 共识的系统，安全度与参与的诚实算力相关。对于基于 BFT 共识的系统，参与节点数越多，能容纳的恶意节点越多，恶意节点少于 1/3。但是对于 BFT 系统，节点越多，通信和计算开销越大。Algorand 提出利用 Verifiable Random Function 随机选出一部分节点形成 committee 参与共识，保证了无论总节点数多大，最后的 committee 数目一定，共识速度就不变。
- Security : 对于 BFT 共识，安全度包含 consistence, liveness 和 fairness。Consistence 是系统内所有诚实节点要最终达到相同的状态。Liveness 需要系统在任意情况下都能收敛到确定状态，并且能持续接受交易，产生正确的共识结果。Fairness 在于对于系统的用户，任意合法的交易都不会被拒绝。

对于传统的 PBFT[1, 2] 系统，需要假设网络处于弱同步状态，通过超时和换主来保证 liveness。但是因为换主是确定性地换到预先设定的下一个节点，而且每次换主导致的节点消息同步耗时长，主节点会被连续不断的网络攻击导致瘫痪，最终系统持续换主，永远无法共识交易，相当于停滞状态。对此，Tendermint[3] 提出每一轮共识完成后确定性由下一个节点提出共识请求，从而避免了一直由主节点提交请求，避免了攻击的薄弱点。但是这依然无法避免提交请求节点的可预测性，导致被依次攻击，系统每轮共识都为空。Honey Badger[4] 提出了基于 RBC (Reliable Broadcast) 和 BA (Binary Agreement) 的协议。核心在于任意节点都可以提出共识消息，通过 RBC 可靠传播到所有节点，并且为了减小广播带宽，通过 erasure code 分割消息为多份。同时所有节点都通过 BA 协议共识所有消息，BA 协议的执行会在任意情况下快速收敛到 1 或者 0，表示对共识消息的接受与否。该协议相当于每一轮，所有节点并行地提出交易、共识，最终得到交易的子集作为共识结果。所以对任意一个节点的攻击，都不会造成整个网络的崩溃，只是会影响网络部分性能。而且能充分利用带宽，适合全球部署。该协议的缺点在于交易响应延时比较高，因为每轮要共识多个节点的交易。同时协议需要预先确定节点的集合，不能动态添加节点，不能支持大规模节点。为了解决节点添加和扩充节点的问题，Algorand[5] 提出将 VRF (Verifiable Random Function) [6] 和 BA 结合起来。无论节点数目多少，通过 VRF 和持有的代币数随机选出特定数目节点，然后节点通过 BA 相互发送交易，并对优先级最高 (VRF 随机数最小) 的节点发出的交易共识。为了提高安全性，共识的每一步都通过 VRF 选出新一轮共识节点，从而让攻击者无法预测下一个攻击目标。该协议的主要有点在响应时间短，缺点在于无法做到高吞吐率和小带宽。

Dfinity[7] 主要是通过 threshold 签名来保证 VRF 的每一轮都能确定性地收到 signature。结合 Random Beacon 和 Notaries 来使每一轮的成员都随机选择，并且提交的块按照本轮随机数进行排名。但是一个潜在的经济学博弈问题是，threshold 签名可以通过多个成员的合谋的方法来预测，合谋的成员可以协同计算出群私钥，快速预测出下一轮的随机数。通过作恶 Dos 攻击下一轮的成员的目的，合谋者可以破坏网络的公平性。因为这种攻击是不容易被发现的，所以可以做到零成本收益，因而在现实世界必然会出现。

2 贡献

Ultrain 共识具备如下特性

- 引入硬件独特的计算能力评分和历史记录评分，生成无法篡改的硬件指纹，保证参与共识的节点都是高性能和良好信誉的。通过可验证随机函数和硬件指纹、持有代币随机选出共识节点（侧重硬件性能）和验证节点（侧重代币数和信誉评分），提高了系统的安全性和扩展性。
- 通过利用拜占庭共识过程中的并行性，提高了共识的效率，同时保证在少数共识提交者被攻击的时候，网络依然保持活性。
- 通过优化密码学签名验签模块，在共识过程采用轻量级的密码学模块 [8, 9]，同时持久化高安全度的密码学结果，提高了节点响应速度。
- 通过冗余编码 [10] 将消息划分为多份传递，而不是一份消息广播，保证了节点能在同一时间窗口并行广播最大的消息数量，并且同一份消息通过多个路径传播，增加了安全到达概率。每一份消息附带默克尔树证明，可以提前得到存在性验证。

3 名词解释

3.1 签名验证

Ultrain 选择 ED25519[13] 作为对消息的签名，主要是基于如下考虑

- ED25519 是开源的密码学算法，由 Daniel Bernstein 提出，经过众多密码学专家论证，最后入选 RFC7748 标准。曾经参与过同微软 FourQ[14] 共同竞争下一代更高效更抗侧信道攻击的椭圆曲线算法标准，后因 NIST 直接进入后量子算法的遴选而取消。
- ED25519 有比较高效的开源算法实现，并且汇编实现支持 Intel AVX 指令集。
- ED25519 相对基于 Weistrass 曲线的 NIST P-256 曲线，性能有比较大的提升。

在接下来的数学表达中，

- 签名标记为： $SIG_{sk}(m) = ED25519_{sig}(sk, m)$
- 验证标记为： $VER_{pk}(SIG_{sk}(m), m) = ED25519_{ver}(pk, SIG_{sk}(m), m)$

其中 (sk, pk) 为一对私钥、公钥。

3.2 摘要函数

Ultrain 采取 SHA256 作为摘要函数，基于如下考虑：

- 虽然 SHA3 标准已经提出，但是目前尚没有明显针对 SHA256 的攻击。
- SHA256 性能相对 SHA3 比较高，而且有众多比较成熟的开源实现。
- SHA256 相对 SHA3 或者其他摘要算法，有更多市场可用的实现。

在接下来的数学表达中，摘要函数标记为： $SHA(m) : hash = SHA256(m)$

3.3 可验证随机函数

可验证随机函数要求函数满足如下特性：

- Deterministic, 一旦有随机数被引入, 节点即可不断尝试新的随机数, 直到 VRF 的结果对己方有利为止。
- Non-malleable, 一旦签名结果可被变换为不同的, 那么用户可以通过修改签名, 达到想要的结果。

在接下来的数学表达中, 标记为: $proof = VRF_{sk}(seed)$

VRF 算法目前应用在系统随机数生成 [15], Layer1 为 dapp 提供的随机源, Layer2 为链下状态通道提供的随机源中 [16]。

3.4 后量子算法

量子计算机主要对密码学中的非对称算法和密钥交换影响较大, 比如 RSA 基于的大数分解困难问题可用 Schor 算法高效解出, 同理离散对数问题也可以解决 (如 GEECM)。然而对于对称算法和单向函数影响不大, 只需要为了增加安全性到两倍即可即可。目前 Ultrain 不以后量子算法为主, 基于如下考虑:

- 量子计算机的发展仍然有相当的时间长度 [17], 一些关键性的问题如多个量子的叠加、量子纠错。
- 目前抗量子算法如密钥交换和非对称算法标准尚不成熟, NIST 第一轮的筛选刚刚完成。
- 抗量子算法目前有基于 LWE[18] 和 code[19] 的算法, 效率普遍比较低, 而且安全性的量化评估目前尚无定论 (如 LWE 基于的 CVP 和 SVP 问题一直有效率更高的算法被提出 [20])。
- 传统算法基于的困难问题, 如基于 pairing 的 ABE[21]/IBE[22]、零知识证明 [23], 在抗量子的困难问题基础上构造比较困难, 或者比较难做到高性能。
- 区块链上的数据到后量子的迁移并没有很大难度。主要是因为足够多的时间, 从非抗量子的公钥钱包迁移到抗量子的钱包。
- Merkle tree、存证等基于的 SHA 算法即使安全度降低, 被碰撞的难度依然比较大。

Ultrain 的抗量子钱包, 通过结合最新的 NIST 征集的抗量子加密算法, 并通过多重签名技术达到足够的安全性。并且针对抗量子算法的缺点又以下解决方案

- 针对目前抗量子算法是否真正抗量子的的问题, 即使 NIST 尚无定论, 所以我们采用多个算法 (Crystals-dilithium[24], Spincs+[25], Rainbow[26]) + 多重签名的方式。这样即使其中一个算法被攻破, 不至于影响钱包的安全性。
- 针对公钥长度太大的问题, 目前消息传递采用账户名的方式, 所以只是多占用用户的存储资源, 不会带来交易的带宽消耗。
- 针对签名长度太大的问题, 会造成交易大小的增大, 影响系统的 tps, 消耗用户的带宽资源。所以目前只能依赖密码学的进一步发展, 同时建议用户只是用在抵押账户或者不经常使用的存储账户上。
- 针对多密钥的管理问题, 我们提供安全的密钥派生钱包, 用户只需要存储一个密钥, 即可管理所有抗量子的钱包, 并且不会因为一个账户被破解而影响其他任何一个账户的安全性, 用户体验不会受到任何影响。

3.5 BLS 算法

采用 BLS 算法，可以对签名结果进行聚合 [28]，从而减小传递的消息大小。Ultrain 目前将此算法此算法应用在 Vote 消息中，减小 Vote 的消息大小，并相应地减小每个块证书的大小，减小侧链向主链传递的跨链消息大小。同时小的块证书大小，也对轻客户端的验证带宽和计算负载比较小。

3.6 区块

区块由如下结构构成

- 块高度，简写为 bh
- 上一个块的 hash，定义为 $hprev_{bh}$ 。
- 块包含的交易的 merkle 根 $hroot_{bh}$ 。
- 交易执行结果的 merkle 状态树根，即 $hstate_{bh}$ 。
- 交易的 Proposers 的 merkle 树根，即 $hProposer_{bh}$ 。

总的区块格式为

$$(bh, hprev_{bh}, hroot_{bh}, hstate_{bh}, hProposer_{bh}) \quad (1)$$

考虑到创世区块比较特殊，我们定义为

$$(0, 0, hroot_0, hstate_0, 0) \quad (2)$$

其中 $hroot_0$ 包含一个创世合约，其中约束了 ultrain 的规则。 $hstate_0$ 包含创世成员的身份和代币分布。

3.7 节点身份

在区块链系统运行过程中，任意一个节点属于如下一种身份：

- Proposer: 共识每轮提起交易批
- Voter: 对交易进行确认，发出投票同意打包请求
- Listener : 对消息进行传递，收到足够票数后执行

3.8 消息类型

区块链系统运行过程中，主要包含如下两种消息：

- PROPOSE 消息：提议共识中需要包含的交易，由 Proposer (对应密钥对为 (skp, pkp)) 生成，格式为

$$(PROPOSE, txs, bh, round, txhash, SIG_{skp}, pkp) \quad (3)$$

其中 txs 为交易批， $txhash = SHA(txs)$ ， $SIG_{skp} = SIG_{skp}(bh, round, txhash)$ 。

- ECHO 消息：投票消息，由 Voter (对应密钥对为 (skv, pkv)) 生成，格式为

$$(ECHO, bh, round, txhash, SIG_{skv}, pkp, SIG_{skv}, pkv) \quad (4)$$

其中 $SIG_{skv} = SIG_{skv}(bh, round, txhash)$ ，其余同上。

4 架构

Ultrain 每一轮，分为如下几步完成

1. 随机数层每个共识周期提供一个系统随机数。
2. 节点利用随机数结合硬件指纹和代币，在每一轮共识开始，选出一定数目的 Proposer 和 Voter。
3. 由 Proposer 提议需要成块的消息，由 Voter 对选中的唯一提议消息相互发送确认。
4. 节点对交易批进行执行，再利用 VRF 选出一定数量 Voter，通过 BA (binary agreement) 协议相互同步对交易批的执行后状态。
5. 节点对交易批和执行后状态独立打包成块。

4.1 随机数层

随机数层，为上层提供随机数源，比如共识委员会的选择，dapp 的随机源。随机数层，有两种参与方，分别是 MAIN 和 AUX。每次随机数的生成，

$$rand_{MAIN} = SHA256(XOR_{i \in MAIN}(VRF_{sk_i}(rand_k))) \quad (5)$$

$$rand_{AUX} = FYS(rand_{MAIN}, \{VRF_{sk_j}(rand_k)\}_{j \in AUX}) \quad (6)$$

$$rand_{k+1} = SHA256(rand_{MAIN} || rand_{AUX}) \quad (7)$$

详细原理如下：

- MAIN 委员会的成员 i 基于上个共识周期的随机数 $rand_k$ 和自己的私钥 sk_i 生成随机数，区块链接收到所有的随机数后再 SHA256，生成随机数 $rand_{MAIN}$ 。
- AUX 委员会的成员 j ，同样原理生成随机数。系统合约利用 $rand_{MAIN}$ 通过 Fisher-Yates 方法 (简称 FYS) [?] 选择 AUX 生成的随机数中的一个，生成 $rand_{AUX}$ 。
- 系统合约利用 $rand_{MAIN}$ 和 $rand_{AUX}$ 生成新的随机数 $rand_{k+1}$ 。
- 每个随机数生成周期为 3 个共识周期，所以每个成员有 3 个共识周期的时间提交随机数。为了保证每个共识周期生成一个随机数，采用 3 个随机数生成器通过流水线的方式生成。
- MAIN 的成员需要押入大量的金额，同时成员数也有限。AUX 的成员不需要押入金额，成员数更多。假如不及时提交随机数，MAIN 中的成员将会被系统惩罚，而 AUX 中的不会。及时提交随机数的成员会得到相应奖励，而且 MAIN 的奖励高于 AUX 成员。
- MAIN 的成员可以线下通过秘密共享的方式组成一个小组，这样只要组内超过一定比例的人投票，组的随机数结果即可重建出来。

本设计的主要目的，在于防止生成随机数的成员串谋，同时利用成员私钥的相互隐秘性，保证随机数的随机性。简约版的随机数生成已经在 github 开源 [15]，并且通过了美国标准局 NIST 的随机性测试 [27]。

4.2 身份层

每个自愿参与共识的节点都有一对密钥 (sk,pk) 作为身份标识。设备被选为共识成员的概率依赖以下三个评分的综合结果。

- 链上代币。所有公钥对应的资产在链上都可以查询到，所以持有代币的百分比作为 w_{coin} 。有的节点可能持有大量代币，但是不愿参与共识，可以代理给其他可靠的硬件厂商对应账户，类似 Dpos。或者持有大量代币的节点可能同时分散在多个账户，这不会影响到公平性，因为多个账户的综合被选中概率与一个账户相同（假设其他两个账户对应的硬件设备指标相同）。
- 硬件特性。根据自愿参与共识的设备硬件指纹信息可以得出硬件特性评分。该评分可能有多个维度，比如 CPU/网卡/硬盘特性，分别适合 committee 中不同的身份。该权重暂定为 $w_{hardware}$ 。
- 声誉。根据节点账户对代币的持有寿命（块高度），设备历史参与记录、成功提交区块的次数，系统自动计算出节点信誉。该权重为 $w_{reputation}$ 。

每个公钥对应一个权重 $w = r_1 * w_{coin} + r_2 * w_{hardware} + r_3 * w_{reputation}$ ，其中 r_1, r_2, r_3 为系统常量，用来设置各个权重的比率。

4.3 共识层

共识的详细过程如下

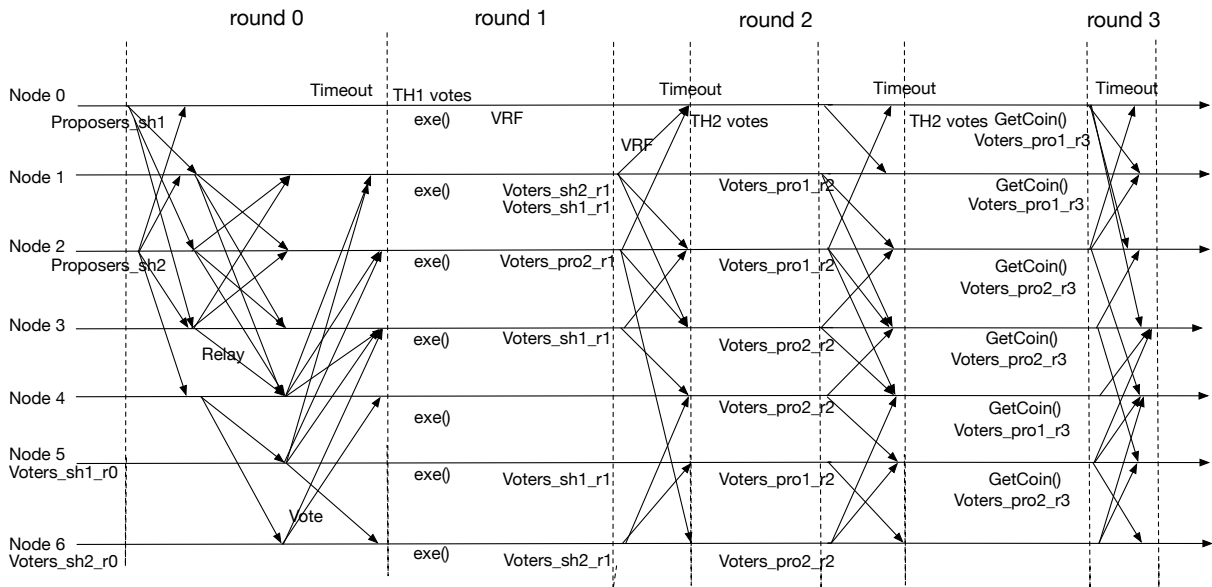


Figure 1: 共识时序图

- propose 轮。节点基于上一个 block，独立判断是否被选为 Proposer 或 Voter。该轮保证消息确定性地由 Proposer 到全网大部分节点。
 - Proposer 在广播 PROPOSE 消息的同时为了加速传播，广播带交易 hash 的 ECHO。为了最小化带宽消耗，PROPOSE 消息被冗余编码后，分别传给多个节点。每个 Proposer 只能广播一次，多次广播被视为恶意节点。
 - Voter 等待 T_{PROP} 时间后，对收到 PROPOSE 消息校验格式，选择 proof 最小的广播相应 ECHO 消息。

- 节点收到 TH_1 个消息后，即使在未收到 PROPOSE 消息的情况下，也广播 ECHO 消息。
- 节点收到 TH_2 个 ECHO 后完成此轮，返回。
- 节点等待 $TIMEOUT$ 未收集足够数量 ECHO 后，判断超时，将交易批设置为空。
- 执行，所有节点对上一轮的结果执行，并基于原状态 $state_1$ 计算输出状态的摘要 $state_2$ 。
- BA 轮，全网基于上一个 block 和轮数，独立判断是否被选为 Voter。该轮保证大部分节点对执行结果的摘要接受与否达成一致。
 - Voter 广播包含 $state_2$ 的 ECHO 消息。
 - 节点收到 TH_2 个 ECHO 后完成此轮。超时则成空提议，返回。
 - 若上轮超时，则新开始一轮，重新判断是否为 voter，基于 CommonCoin 决定是否提起包含 $state_2$ 还是空交易批的 ECHO 消息，然后广播。
 - 节点收到 TH_2 个 ECHO 后完成此轮。否则继续利用 CommonCoin 判断下一轮的 ECHO 消息内容。
 - BA 中每一轮时间固定为 T_{Bar} ，节点判断超时后返回空。若超出特定 BA 轮数，则节点将状态回滚到 $state_1$ ，该轮包含空交易批。
- 成块
 - 各个节点利用执行结果状态独立成块。整个共识过程中，Listener 会接收到跟 Voter 和 Proposer 同样的消息，所以除了传递消息外，Listener 同样会校验、处理消息、成块。

具体算法描述如下：

Algorithm 2: Ultrain 节点操作

Data: 初始代币分布 $IStake$, 成员列表 $IMember$, 随机数主委员会 $IMain$, 随机数附属委员会 $IAux$

Result: 区块链状态

```
1 Initialization
2    $bh = 0$  /* 初始块高度 */
3    $state_{bh}, block_0 = (IStake, IMember, IMain, IAux)$  /* 初始状态和块 */
4    $(sk_i, pk_i) = KeyGen()$  /* 节点密钥对 */
5    $queue_{txs} = \{\}$  /* 初始交易队列为空 */
6 Upon incoming transaction  $tx$ 
7   /* 检查交易消息的签名和格式 */
8   if  $check(tx)$  then
9      $queue_{txs} \cup = tx$ 
10 Upon start consensus
11   /* last block */
12    $round = 0$ ;
13   /* 提议轮 propose, 最后获取投票结果和交易批 hash, 以及交易批 */
14    $res, hbatchtx, batchtx = ROUND(PROPOSE, hblock_{bh-1}, queue_{txs}, block_{r-1}, round)$ 
15   /* BA */
16    $round ++$ ;
17   if  $res == TIMEOUT$  then
18     /* 若上轮收集不到足够选票, 超时, 则提议空交易批 */
19      $res = ROUND(ECHO, set_{EMPTY}, block_{bh-1}, round)$ 
20   else
21     /* 保存上一个状态  $state_{bh-1}$  */
22      $save(state_{bh-1})$ 
23     /* 执行交易批  $batchtx$ , 获得新状态, 计算摘要为  $hstate_{bh}$  */
24      $hstate_{bh} = exe(state_{bh-1}, batchtx)$ 
25      $res = ROUND(ECHO, hbatchtx, block_{bh-1}, round)$ 
26   while  $res == TIMEOUT \& round < MAX_r$  do
27     /* at most  $MAX_r = 7$  rounds */
28      $round ++$ 
29      $CC = SHA(res \parallel hblock_{r-1} \parallel round)$ 
30     /* 取 CC 的最低位来决策下一步动作 */
31     if  $LSB(CC) == 1$  then
32        $res = ROUND(ECHO, hbatchtx, block_{bh-1}, round)$ 
33     else
34        $res = ROUND(ECHO, set_{EMPTY}, block_{bh-1}, round)$ 
35     /* 构建块 */
36      $build\_block(state_{bh})$ 
```

节点每轮对消息的响应如下：

Algorithm 3: Ultrain 节点轮操作

Data: *Type*, 交易批 *batchtx*, 块摘要 *block_{bh-1}*, *round*, *sk*, *pk*

Result: 返回值 *res*, 交易批摘要 *hbatchtx*, 交易批 *batchtx*

```

1 初始化
2  setECHO = {} /* 响应 hbatchtx */
3  settxs = {} /* HASH(batchtxs) : batchtxs */
4  sentECHO = {} /* sent ECHO HASH(batchtxs) : batchtxs */
5  Upon Start
6  start timer
7  randbh = randgen(randbh-1)
8  if pki ∈ FYS(randbh, IMember) /* 判断是否被选中 */
9  then
10 |   sig = SIGsk(blockbh-1, round, hbatchtxs)
11 |   if round! = 0 /* BA */
12 |   then
13 |     broadcast (ECHO, bh, round, batchtxs, sig, pk)
14 |     break
15 |   hbatchtxs = SHA(batchtxs)
16 |   broadcast (PROPOSE, bh, round, hbatchtxs, batchtxs, sig, pk)
17 |   /* Proposer 默认也为 voter, 发送 ECHO 加速消息传播 */
18 |   broadcast (ECHO, bh, round, hbatchtxs, sig, pk)
19  Upon receive PROPOSE
20  if HASH(PROPOSE.batchtxs)! = PROPOSE.hbatchtxs then
21  |   break
22  |   /* 是否收到该 ECHO */
23  if PROPOSE.pk ∈ setECHO then
24  |   settxs[PROPOSE.hbatchtxs] = PROPOSE.batchtxs
25  |   return 1
26  if receive_ECHO(PROPOSE \ PROPOSE.batchtxs) then
27  |   settxs[PROPOSE.hbatchtxs] = PROPOSE.batchtxs
28  Upon receive ECHO
29  if VER(msg) then
30  |   setECHO[ECHO.hbatchtxs] ∪ = ECHO.pk
31  |   if count(setECHO[ECHO.hbatchtxs]) == TH2 then
32  |     if round! = 0 || ECHO.hbatchtxs ∈ index(settxs) then
33  |       return hbatchtxs
34  |       /* wait for some time to get the batchtxs */
35  |   if count(setECHO[ECHO.hbatchtxs]) == TH1 then
36  |     if not ECHO.hbatchtxs ∈ sentECHO then
37  |       add_sig_then_send(ECHO, ECHO={ECHO, hbatchtxs, sigmsg, proof, pk}), sk,
38  |       pk)
39  |       sentECHO ∪ = ECHO.hbatchtxs
39  Upon TIMEOUT
40  return TIMEOUT

```

Algorithm 4: 消息传递

Data: msg_{in}, sk, pk

- 1 /* 在原消息添加节点签名 */
 - 2 $broadcast(Type, msg_{in}.msg, msg_{in}.sig \cup SIG(msg_{in}.msg, sk), msg.pk \cup pk)$
-

Algorithm 5: 随机数生成 randgen

Data: $MAIN, AUX, rand_k$ **Result:** $rand_{k+1}$

- 1 /* 从组中利用随机选出一批成员 */
 - 2 $rand_{MAIN} = SHA256(XOR_{i \in MAIN}(VRF_{sk_i}(rand_k)))$
 - 3 $rand_{AUX} = FYS(rand_{MAIN}, \{VRF_{sk_j}(rand_k)\}_{j \in AUX})$
 - 4 $rand_{k+1} = SHA256(rand_{MAIN} || rand_{AUX})$
-

4.4 新节点加入

新节点需要经过如下几个步骤：

- 观察并接收网络正在传播的消息，确定块高度和共识的轮数，当前块共识结果。为了防止被恶意节点通过网络控制的方式攻击，新节点需要尽量从多个网络地址监听共识消息。
- 根据当前成块，向网络中其他节点拉取历史区块，并验证链的正确性。考虑到链的单向性，新节点可以保证历史区块的正确性。

5 安全性证明

5.1 定理

Theorem 5.1 (FLP 不可能性) 异步系统下，即使只有一个节点崩溃或者作恶，不可能构造在确定有限时间内的共识算法。

Theorem 5.2 (容错上界) 对于部分同步网络，最多容忍 $1/3$ 的恶意节点。异步网络，确定性共识算法不能容错。强同步网络可以达到 100

Theorem 5.3 (CAP 定理) 对于网络分区，无法同时保证一致性和可用性。

5.2 安全假设

Assumption 5.4 (网络连通性) 网络不会被超过 $1/3$ 的恶意群体控制，任意两点的消息传播通过 *gossip* 协议，保证消息在确定时间范围内最终大概率到达。同时消息的源头不会被轻易识别出来，被攻击。

Assumption 5.5 (节点恶意行为) 网络上的节点可以发送任意恶意消息或者串谋、拒绝响应，只要总持币数不会被 $1/3$ 的恶意节点控制，那么区块链系统的安全性和活性就能得到保证。

Assumption 5.6 (弱同步时钟) 各个节点依赖本地时钟和网络消息判断何时进入下一轮。不同节点的本地时钟可能存在差异，需要定时跟网络时钟服务（如微软）进行矫正。我们的每轮是固定时间宽度，考虑了消息在不同网络拓扑下的传播时间分布和节点处理消息的时间。

Assumption 5.7 (恶意节点数) 假设网络上不可能有两个相同的集合，每个集合包含了相同的签名；即假设了足够的恶意节点持有的代币数。

5.3 推论

虽然拜占庭共识能保证全网系统的最终一致性，但是因为我们在公网上，情况比较特殊：

- 为了扩展性的要求，考虑的是通过委员会 + 阈值的方式，而不是传统的每个节点接收到其他全部节点的消息后做响应。
- 节点间的信息传输非点对点传输，而是通过公网 *gossip* 方式传播，恶意节点可能会将消息只广播到部分网络分区，能在超时范围内，影响该网络其他节点的接收消息的完整度。

恶意节点可能会有以下几种攻击的可能性：

- Case1: 作为 Proposer，有意向一部分网络节点发送 PROPOSE 消息，向另外一部份节点延迟发送，或者根本不发送。
- Case2: 作为 Voter，有意向一部分网络节点发送 ECHO 消息，向另外一部份节点延迟发送，或者根本不发送。

Corollary 5.7.1 *Case1* 不会影响区块链的一致性和活性。

证明：VRF 保证了 voter 分布的不可预测性和随机性，所以假如 PROPOSE 消息没有大于 $TH1$ 的网络上传播，大部分节点将无法在足够的超时范围内收到足量 ECHO 消息，从而以空交易批的方式进入第二轮；对于少部分能在超时范围内接收到 ECHO 消息的节点，在第二轮将无法得到足够多的对应交易 hash 的 ECHO 消息，而会在第三轮收到空交易批的 ECHO 消息，所以最后所有节点都会以空的交易批结束。网络的一致性得到保证。同理，假如 Proposer 对不同的网络分区广播不同的 PROPOSE 消息，也会导致所有消息都接收不到足量的 ECHO 消息，最终所有节点以空交易批结束。活性：VRF 会选足够多的 Proposer，另外引入公平的随机性，从而保证所有 Proposer 都是恶意节点的概率非常小，系统会大概率获取一定的交易批次。

Corollary 5.7.2 *Case2* 不会影响节点的一致性和活性。

证明：voter 在 case2 主要是干扰网络的一致性，VRF 保证了 voter 分布的不可预测性和随机性，所以其实 voter 无法确定其他 voter 的位置，假设全部 voter 在网络的分布是均匀的，恶意 voter 很难通过只广播小部分分区，影响大部分 voter 的目的。即使假定 voter 能控制足够量其他 voter 接收的消息，从而控制分区 1 超过阈值收敛为交易批，分区 2 超时，但是因为我们超时后的行为是随机的，继续提交交易批，或者提交空交易批，所以这种不可预测的行为让 voter 无法控制网络，最后超出固定轮数后，所有 voter 最后以空交易批结束。但是，这属于极端情况，因为恶意节点不能一直作为 voter 存在，所以最后网络还是不受恶意节点控制。

Corollary 5.7.3 强同步网络下，*Ultrain* 共识第二轮结束后即完成；半同步网络下，*Ultrain* 需要多轮可以大概率收敛。

证明：在强同步网络下，任何节点在超时范围内，都能收到其他节点发过来的消息。基于假设，网络恶意投票数不会超过 1/3，所以所有节点在第一轮都可以收到所有的共识提议，无论是恶意还是诚实节点发送的。在第二轮过程中，只有诚实节点的提议会收到足够多的票数，所有节点都确定性地执行，并达到相同的结果。在半同步网络下，所有节点依然可以保持确定时间收敛和一致性。

Corollary 5.7.4 *Ultrain* 可以防御女巫攻击。

女巫攻击主要是利用系统的不公平性，为某一实体谋取利润的方式。我们有如下防御方式

- 针对利用大量的假名，构造多个伪身份对应一个真实身份的攻击，*Ultrain* 采用硬件指纹的方式，唯一地对网络上的代币持有者进行标示。
- *Ultrain* 采用 VRF 函数，保证即使用户拆分为多个伪身份，依然不能产生超出总持有代币的投票权，所以不能进行女巫攻击。

Corollary 5.7.5 *Ultrain* 可以抵御 *Selfish-mining* 攻击

Ultrain 基于的 BFT 系统是保证所有节点的一致性，所以即使外部节点独立生成一条链，也不会被网络诚实节点接受，从而无法影响节点一致性。同时为了保证节点

Corollary 5.7.6 *Ultrain* 可以抵御 *Nothing-at-stake* 攻击

Ultrain 中的见证节点相当于投票节点，每个代币持有者的投票能力与代币成正比，低于 1/3 的持有者不会有能力产生分叉。通过硬件指纹的唯一性，*Ultrain* 也会对双重投票的节点进行一定比例的惩罚。

Corollary 5.7.7 *Ultrain* 可以抵御 *DoS* 和 *DDoS* 攻击

DDOS 是通过消耗资源使被攻击者的服务机不工作，DOS 是直接利用对方的漏洞。即使共识代码出现了一定的 bug，系统被攻击崩溃也是有一定难度的，主要基于如下几点：

- 攻击成本是 $o(n^2)$ ，所以同时攻击多个节点的成本是很高的。
- 基于 gossip 的话更难被锁定信号源进行攻击。
- 假如是放在 sandbox，签名放在外面的话，或者用 sgx，那么即使实现有 bug 不会影响到单个节点的安全性，比如是代币被花；应该采用不同的 vote key 和 tx sig key；sandbox 不会让系统其他模块被污染，所以我们需要隔离好用户的钱包和共识代码，特别是针对 PoS 场景，不能采用同样的账户。
- 假如是有足够的时间窗口，能快速启动的话，那么能保证节点快速启动，不会影响到整个系统的 liveness。

网络分区将导致区块链系统的可用性和一致性不能同时满足。一般情况，区块链系统都选择中止（比如基于），或者分叉（比如比特币）。为了及时发现分区，我们的 VRF 函数考虑了在不同地域的采样，比如要求 voter 必须在不同的国家内有一定的比例。因为我们不想在中国和美国都出现脑裂的情况，系统也出现脑裂。

References

- [1] Miguel Castro, Barbara Liskov, et al. Practical byzantine fault tolerance. In *OSDI*, volume 99, pages 173–186, 1999.
- [2] Miguel Castro and Barbara Liskov. Practical byzantine fault tolerance and proactive recovery. *ACM Transactions on Computer Systems (TOCS)*, 20(4):398–461, 2002.
- [3] Jae Kwon. Tendermint: Consensus without mining. URL [http://tendermint.com/docs/tendermint {_} v04. pdf](http://tendermint.com/docs/tendermint_{_} v04. pdf), 2014.
- [4] Andrew Miller, Yu Xia, Kyle Croman, Elaine Shi, and Dawn Song. The honey badger of bft protocols. In *Proceedings of the 2016 ACM SIGSAC Conference on Computer and Communications Security*, pages 31–42. ACM, 2016.
- [5] Yossi Gilad, Rotem Hemo, Silvio Micali, Georgios Vlachos, and Nickolai Zeldovich. Algorand: Scaling byzantine agreements for cryptocurrencies. SOSP, 2017.
- [6] Silvio Micali, Michael Rabin, and Salil Vadhan. Verifiable random functions. In *Foundations of Computer Science, 1999. 40th Annual Symposium on*, pages 120–130. IEEE, 1999.
- [7] Timo Hanke, Mahnush Movahedi, and Dominic Williams. Dfinity technology overview series consensus system, 2018.
- [8] Andrey Bogdanov, Miroslav Knežević, Gregor Leander, Deniz Toz, Kerem Varıcı, and Ingrid Verbauwhede. Spongint: A lightweight hash function. In *International Workshop on Cryptographic Hardware and Embedded Systems*, pages 312–325. Springer, 2011.
- [9] Jean-Philippe Aumasson, Luca Henzen, Willi Meier, and María Naya-Plasencia. Quark: A lightweight hash. In *International Workshop on Cryptographic Hardware and Embedded Systems*, pages 1–15. Springer, 2010.
- [10] Yong Wang, Sushant Jain, Margaret Martonosi, and Kevin Fall. Erasure-coding based routing for opportunistic networks. In *Proceedings of the 2005 ACM SIGCOMM workshop on Delay-tolerant networking*, pages 229–236. ACM, 2005.
- [11] Alexandra Boldyreva. Threshold signatures, multisignatures and blind signatures based on the gap-diffie-hellman-group signature scheme. In *International Workshop on Public Key Cryptography*, pages 31–46. Springer, 2003.
- [12] Dan Boneh, Xavier Boyen, and Shai Halevi. Chosen ciphertext secure public key threshold encryption without random oracles. In *Cryptographers’ Track at the RSA Conference*, pages 226–243. Springer, 2006.
- [13] Daniel J Bernstein, Niels Duif, Tanja Lange, Peter Schwabe, and Bo-Yin Yang. High-speed high-security signatures. *Journal of Cryptographic Engineering*, 2(2):77–89, 2012.
- [14] Patrick Longa. Four and four lib.
- [15] <https://github.com/wanghs09/randgen>.
- [16] <https://github.com/wanghs09/layer2rand>.
- [17] Scott Aaronson. The limits of quantum computers. *Scientific American*, 298(3):62–69, 2008.

- [18] Erdem Alkim, Léo Ducas, Thomas Pöppelmann, and Peter Schwabe. Post-quantum key exchange—a new hope. In *USENIX Security Symposium*, pages 327–343, 2016.
- [19] Pierre-Louis Cayrel and Mohammed Mezziani. Post-quantum cryptography: code-based signatures. In *Advances in Computer Science and Information Technology*, pages 82–99. Springer, 2010.
- [20] Richard Lindner and Chris Peikert. Better key sizes (and attacks) for lwe-based encryption. In *Cryptographers’ Track at the RSA Conference*, pages 319–339. Springer, 2011.
- [21] Brent Waters. Ciphertext-policy attribute-based encryption: An expressive, efficient, and provably secure realization. In *International Workshop on Public Key Cryptography*, pages 53–70. Springer, 2011.
- [22] Dan Boneh and Matthew Franklin. Identity-based encryption from the weil pairing. *SIAM journal on computing*, 32(3):586–615, 2003.
- [23] Bryan Parno, Jon Howell, Craig Gentry, and Mariana Raykova. Pinocchio: Nearly practical verifiable computation. In *Security and Privacy (SP), 2013 IEEE Symposium on*, pages 238–252. IEEE, 2013.
- [24] Léo Ducas, Tancrede Lepoint, Vadim Lyubashevsky, Peter Schwabe, Gregor Seiler, and Damien Stehlé. Crystals–dilithium: Digital signatures from module lattices. 2018.
- [25] Daniel J Bernstein, Daira Hopwood, Andreas Hülsing, Tanja Lange, Ruben Niederhagen, Louiza Papachristodoulou, Michael Schneider, Peter Schwabe, and Zooko Wilcox-O’Hearn. Sphincs: practical stateless hash-based signatures. In *Annual International Conference on the Theory and Applications of Cryptographic Techniques*, pages 368–397. Springer, 2015.
- [26] Jintai Ding and Dieter Schmidt. Rainbow, a new multivariable polynomial signature scheme. In *International Conference on Applied Cryptography and Network Security*, pages 164–175. Springer, 2005.
- [27] <https://github.com/wanghs09/ultrainfaq/wiki/nist-随机性测试报告>.
- [28] Dan Boneh, Craig Gentry, Ben Lynn, Hovav Shacham, et al. A survey of two signature aggregation techniques. *RSA cryptobytes*, 6(2):1–10, 2003.